

(HUANJING KEXUE)

ENVIRONMENTAL SCIENCE

第34卷 第2期

Vol.34 No.2

2013

中国科学院生态环境研究中心 主办

科学出版社出版



ENVIRONMENTAL SCIENCE

第34卷 第2期 2013年2月15日

目 次

16 届亚运会期间广州城区 PM _{2.5} 化学组分特征及其对霾天气的影响 陶俊,柴发合,高健,曹军骥,刘随心,张仁健(409)北京地区秋季雾霾天 PM _{2.5} 污染与气溶胶光学特征分析 赵秀娟,蒲维维,孟伟,马志强,董璠,何迪(416)上海市秋季大气 VOCs 对二次有机气溶胶的生成贡献及来源研究
上海市秋学人气 VOCs 对二次有机 飞格放的生成页献及未添切充
杭州市大气超细颗粒数浓度谱季节性特征
保定市大气气溶胶中正构棕层的污染水平及来源识别 参本菇 杜熙强 王英锋 王跃思(441)
去节期间而安城区融气滚胶污浊转征研究
作为四日文为是城 (市成17年7年底)
平东区域同山目泉层 ΓM_{10} 和 ΓM_{25} 目泉且及万朱行征 亦称的,刘公东,陶文(455)
基于电丁鼻工集与地下水污染修复现场 TVOC 和恶臭的评估 田务央, 祭赋, 刈犹, 张水明(462)
枳儬雪拴制卜土壤大气间永父换进量特征
靖海湾重金属污染及铅稳定问位素溯源研究 徐林波,高勤峰,董双林,刘佳,傅秀娟(476)
正构烷烃及单体碳同位素记录的石臼湖生态环境演变研究 欧杰,王延华,杨浩,胡建芳,陈霞,邹军,谢云(484)
干旱区城市昌吉降雪及积雪中 PGEs 含量分布及其影响因素 刘玉燕,刘浩峰,张兰(494)
降尘收集方法对降尘效率的影响
海河流域水生态功能—级二级分区
长江中下游浅水湖泊水下辐照度漫射衰减特征研究
内性水体叶绿麦后流精刑並活性及甘影响因麦研宏
的加小件中国苏及澳快宝自足且及来影响四京明儿 凌信对官住拉美的河口浪址主尼汀和师信信化苗夕轻胜乃信信化市波的影响
价书列苗朱均介的得口健地农区机价份效料化图乡什住区效制化还罕的影响 "呼啦项,乡专庆,ღ代考,顾自田(J52) 百品及伊工书科学院建设中、建筑工作、建筑工作、建筑工作、建筑工作、建筑工作、建筑工作、建筑工作、建筑工作
目然余件下盆观两浜湿地工集水分/盆及至间分开及具与植物大系研究
家华央,刘红玉,李玉风,女静,眸星于,疾明行(540)
准河流域农业非点源污染空间特征解析及分类控制
高岚河不同降雨径流类型磷素输出特征 崔玉洁,刘德富,宋林旭,陈玲,肖尚斌,向坤,张涛(555)
城市雨水径流水质演变过程监测与分析 董雯,李怀思,李家科(561)
复合人工湿地系统强化处理单元的运行特性与效果 任峰,陆忆夏,刘琴,汤杨杨,王世和,高海鹰,乔红杰,王为进(570)
给水管网中耐氯分枝杆菌的灭活特性及机制研究 郑琦,陈超,张晓健,陆品品,刘源源,陈雨乔(576)
1 株溶臺菌的部分生物学特性及溶鱼腥蔥作用 李三华、张奇亚(583)
水生植物热解生物油对中肋骨条蘑拍氧化酶活性的影响
TiO 业健心胜全技术降假某款却制及动力为
102 / LIE LUNG 12 / THE PARTY TO THE PARTY
及平及小月7亿分米初生物呼解行任则九
班每困 FAO45 对倾氮条件丝 AR3U 的障脏化制研究 网络瓜, 方塞 胆, 为塞 胆, 为塞 胆, 分塞 胆, 为寒 胆, 也是是一里,这是一里,这是一里,这是一里,这是一里,这是一里,这是一里,这是一里,
松融当星前下工壤人气间水叉换迎星行肛。
基于污泥资源化利用的蛋白核小球藻(Chlorella pyrenoidosa) 培养研究 ····································
温和热处理对低有机质污泥片氧消化性能的影响
天然和水热合成针铁矿对有机物厌氧分解释放 CH ₄ 的影响 姚敦璠,陈天虎,王进,周跃飞,岳正波(635)
蚀刻废液及其回收后生产的铜盐产品中 PCDD/Fs 含量水平及分布特征 青宪,韩静磊,温炎桑(642)
基于特定场地污染概念模型的健康风险评估案例研究 钟茂生,姜林,姚珏君,夏天翔,朱笑盈,韩丹,张丽娜(647)
短刻废被及其凹取后生产的铜盘产品中 PCDD/Fs 含量水平及分布特征
地下水有机污染源识别技术体系研究与示范 ····································
郑连山不同海拔十壤有机碳库及分解特征研究
型十方机碳 氮及其活性对长期施肥的响应
相差连续证用对每运边农用上墙由每时左形太和生物有效性的影响
似在建筑建口的确行未从田上接下溯域行龙心相主物有双压的影响
外源Cr(Ⅲ)在我国 22 种典型土壤中的老化特征及关键影响因子研究······· 郑顺安,郑向群,李晓辰,刘书田,姚秀荣(698)
某林丹生产企业搬迁遗留场地土壤中六六六的残留特征 潘峰,王利利,赵浩,尤奇中,刘林(705)
大型炼锌/周边土壤及疏菜的汞污染评价及来源分析
大津成人头发指甲中有机氟污染物的残留特征 姚丹,张鸿,柴之芳,沈金灿,杨波,王艳萍,刘国卿(718)
沉积物中雌激素及壬基酚、辛基酚、双酚 A 的测定 ····················· 吴唯,史江红,陈庆彩,张晖,刘晓薇(724)
动物饲料中砷、铜和锌调查及分析 姚丽贤,黄连喜,蒋宗勇,何兆桓,周昌敏,李国良(732)
氟虫双酰胺在水稻和稻田中的残留动态研究 王点点,宋宁慧,吴文铸,由宗政,何健,石利利(740)
2 株降解菲的植物内生细菌筛选及其降解特性 倪雪,刘娟,高彦征,朱雪竹,孙凯(746)
嗜盐拟香味菌 Y6 降解硝基苯的特性研究
某林丹生产企业搬迁遗留场地土壤中六六六的残留特征
16S rDNA 克隆文库分析高含盐生物脱硫系统细菌多样性
每氨浓度对 CANON 丁 丁 功能微生物主度和 莊 荻
16S rDNA 克隆文库分析高含盐生物脱硫系统细菌多样性 ····································
四月母(1 cmcmmm sumpucessumum)/7]小灰月壮余时序册及旧入四门目行正 。
一
口佃门米工场顺生物研育的阿司万里付任明九····································
工每系任冯买对判准肥过性中的阵牌及共为相大参数的影响 土柱纱, 学兆右, 旅树洧, 与晓彤, 栾永超(795)
生活垃圾填埋过程含水率受化研究····································
一次是,胡天觉,曾光明,黄丹莲,尹璐,刘杨,吴娟娟,刘晖(781)石油污染土壤微生物群落结构与分布特性研究····································
《 外境科字》 征 7 后事(447) 《 外境科字》 征 倘 前 则(493) 信息(508,588,610,731) 专 辑 征 楊 通 知(788)

保定市大气气溶胶中正构烷烃的污染水平及来源识别

李杏茹¹,杜熙强¹,王英锋¹,王跃思²*

(1. 首都师范大学化学系,分析测试中心,北京 100048; 2. 中国科学院大气物理研究所 LAPC,北京 100029)

摘要:有机物已成为我国城市大气颗粒物中最重要组成部分.为认知河北工业城市大气颗粒物中有机物浓度水平和来源,于2010年9月~2011年8月,利用安德森9级惯性撞击式颗粒物采样器在河北省保定市采集了大气颗粒物样品,采用有机溶剂萃取-气相色谱/质谱法定量分析了其中的正构烷烃.结果表明,采样期间保定市大气细粒子日均浓度67%超过GB3095-2012二级标准75μg·m⁻³,约96%超过国家可吸入颗粒物浓度标准150μg·m⁻³.颗粒物中检测出C14~C32正构烷烃19种,浓度范围111.23~979.81 ng·m⁻³,日均浓度264.2 ng·m⁻³;4个季节的主峰碳各有不同,冬春季主峰碳为C20、C21和C22,夏季为C27;春、夏、秋、冬CPI值分别为0.97、1.24、0.92、0.86,平均值为1.01.冬春季正构烷烃主要受控于化石燃料燃烧和汽车尾气排放,夏秋季还同时受到高等植物角质蜡层的挥发影响,全年以人为源的影响为主.

关键词:保定; 大气气溶胶; 正构烷烃; 污染特征; 来源识别

中图分类号: X513 文献标识码: A 文章编号: 0250-3301(2013)02-0441-07

Pollution Characteristics and Source Identification of Atmospheric Particulate Matters *n*-Alkanes in Baoding City

LI Xing-ru¹, DU Xi-qiang¹, WANG Ying-feng¹, WANG Yue-si²

(1. Analysis and Testing Center, Department of Chemistry, Capital Normal University, Beijing 100048, China; 2. LAPC, Institute of Atmospheric Physics, Chinese Academy of Sciences, Beijing 100029, China)

Abstract: Organic matter has been a very important component in the ambient particulate matter of big cities in China. In order to investigate the mass concentrations and sources of the organic matter which are adsorbed in ambient particulate matters in the industry cities of Hebei province, aerosol samples were collected with Anderson sampler during Sep. 2009 to Aug. 2010, in Baoding city, Hebei province. The concentration of *n*-alkanes was determined via GC-MS. About 66.7% of the daily average concentrations of fine particulate matters were higher than the 24-hour average threshold value of class II standard of the ambient air quality standard (GB 3095-2012, 75 μg·m⁻³). About 96% of the daily average concentrations of inhalable particles were higher than 150 μg·m⁻³ (GB 3095-2012). The total concentration of *n*-alkanes was in the range of 111. 23-979. 81 ng·m⁻³ with an average of 264. 2 ng·m⁻³. The *n*-alkene homologues from C14 to C32 were detected with different peak carbon numbers ranging from 20 to 27 in different seasons. In summer, the peak carbon number was 27, while it was C20, C21 or C22 in winter and spring. The CPI values were 0.97, 1.24, 0.92 and 0.86 in spring, summer, autumn and winter, respectively, with an average of 1.01. These results indicated that the incomplete combustion of fossil fuel and vehicle emissions was the main resource of *n*-alkanes in winter and spring, and the high plant waxes were playing a major role in summer and autumn. The primary sources were anthropogenic activities all year round.

Key words; Baoding; particulate matters; *n*-alkanes; pollution characteristics; source identification

中国经济高速增长的同时,人口持续向城镇集聚,使我国城市化进程得以快速前进.然而,城市的局地大气污染却也逐渐演变为区域性复合大气污染,已成为目前各个城市面临的重大环境问题之一.大气复合污染表现为大气氧化性物种和细颗粒物浓度增高、大气能见度显著下降和环境恶化,且大有向周边区域蔓延的趋势^[1].大气颗粒物在大气环境中发挥着重要的作用^[2],这些颗粒物主要分成两部分,细粒子(空气动力学直径 > 2.5 μm)和粗粒子(空气动力学直径 > 2.5 μm)^[3,4].

颗粒物携带的有机物大部分具有致毒性,致癌性,致畸性^[5,6].自20个世纪80年代以来,对于大气颗粒物中的有机物,国内外一直都有广泛而持续的

研究^[7~11].作为颗粒物中的重要组成成分之一的正构烷烃(*n*-alkane)^[12],随着分子量的不断增大,正构烷烃的麻醉性也随之增强. 当碳数 > 16 时,随碳数的进一步增加,正构烷烃的危害也越来越大,不但能损伤皮肤,甚至有产生皮肤癌的危险^[13]. 正构烷烃因其活性和挥发性低,使其成为气溶胶迁移和颗粒物来源研究中的标志物之一^[14]. 国内外的学者对正构烷烃的时空变化和来源等问题一直进行着相关的

收稿日期: 2012-04-24; 修订日期: 2012-08-17

基金项目:中国科学院知识创新工程重要方向项目(KZCX2-YW-002-03);北京市科技计划项目(D09040903670902)

作者简介: 李杏茹(1979~),女,博士,讲师,主要研究方向为气溶胶有机化学.

* 通讯联系人,E-mail:wys@ mail.iap.ac.cn

研究^[15-20],目前的研究结果表明^[21],烷烃主要的来源分为人为源和自然源.人为源包括化石燃料的燃烧,木材和农村秸秆的燃烧;自然源包括高等植物角质蜡层的排放,花粉,悬浮的孢子、微生物和昆虫的排放等.

近年来,我国对大气颗粒物的研究主要集中在 发达的沿海城市及人口众多的内陆大城市,如北京、 广州、兰州、南京、天津等地[22~28],而且以往的研 究表明污染物在城市间的跨区域输送也很明 显^[29,30]. 保定市在北京市西南方向约 150 km 处,与 北京、天津构成黄金三角,素有"首都南大门"之称, 人口众多,经济发达,气候条件属暖温带大陆性季风 气候,秋冬季节干燥少雨,夏季湿热.作为北京周边 的中型城市,鲜见有对保定市大气气溶胶的污染情 况的具体研究,只有齐学先[31]提及保定市大气环境 中 PM, 的污染,因此,此次选择保定作为研究区域, 不仅填补了有专门针对保定大气气溶胶污染的研究 数据,而且也为京津冀地区大气污染的运输转移提 供一定的参考. 同时, 国家环境保护部将于 2016 年 颁布 PM,5国家标准,以期为其提供一定的保定市污 染背景资料.



图 1 保定市地理位置示意

Fig. 1 Location of sampling city

1 材料与方法

1.1 实验仪器及药品试剂

仪器:颗粒物采样器(Thermal Anderson,美国), 气相色谱-质谱联用仪(Thermo Finnigan TRACE DSQⅡ,美国), HP-5MS 弹性石英毛细柱(30 m×0.25 mm×0.25 μm), 氮气吹干仪(N-EVAP™ 116, 美国),旋转蒸发仪(Büchi,瑞典), 马弗炉(EYELA TMF-2200,日本),十万分之一电子天平(Sartorius, 德国);恒温恒湿箱,超声波清洗仪等均为国产.

药品及试剂:二氯甲烷、正己烷、甲醇(Fisher scientific,美国)均为色谱纯;正构烷烃混标:C14~C32、内标物六甲基苯(Supelco,美国);无水硫酸钠、分析纯、硅胶(80~100目)、三氧化二铝(100~200目)均为国内产品,使用前抽提72h,并进行活化处理.

1.2 样品的采集

采样点为河北农业大学西校区一工作间房顶, 采样器距离地面约 10 m,采样点接近城市中心地 带,周边无高大建筑物和典型污染源.采样时间从 2010年9月~2011年8月,历时1a,每月上旬和下 旬各采集一次,每次24 h(从第一天上午10:00 开 始,次日上午10:00 结束),共采集样品数24份,雨 天不采样. 采样器为 Andersen 分级采样器(流速: 28. 3 L·min⁻¹), 粒子的 50% 切割等效空气动力学 粒径(EAD)为9.0、5.8、4.7、3.3、2.1、1.1、0.65 和 0.43 µm. 采样器采集一定数量的样品后,切割器 孔容易堵塞,若遇此情况,则将切割头取下,先放于 超声波清洗仪超声清洗 0.5 h, 风干后, 用棉签蘸上 适量酒精擦拭切割头至光洁干净为止. 采样选用玻 璃纤维滤膜,采样前将玻璃纤维滤膜在马弗炉中 450℃焙烧4h,以消除可能的有机物,冷却后放入恒 温恒湿箱中平衡 24 h(温度:25℃,湿度 50%),用十 万分之一的精密电子天平称重. 采样后的滤膜用铝 箔封装后带回实验室,恒温恒湿 24 h(温度:25℃, 湿度 50%),用十万分之一的精密电子天平称重后 放入冰箱中低温冷冻保存至分析. 采样期间同步记 录气象信息(见表1).

表1 采样期间气象参数

Table 1 Meteorological parameters during sampling periods

Table	1 Micteoror	ogicai paramete	is during samp	mg periods
采样季节	降雨量	平均风速	平均温度	平均相对湿度
木件子 P	/mm	/m•s ⁻¹	$^{\sim}$	/%
秋	0. 91	1. 29	13. 73	58. 92
冬	0.11	1. 83	- 2. 41	44. 21
春	0.47	2. 99	13. 58	46. 72
夏	3.47	2. 34	26. 02	69. 08

1.3 样品的前处理和分析

将每层滤膜裁成均等两份,每层取一半滤膜,粗粒子(视为 $PM_{>2.1}$,粒径段 $2.1 \sim 3.3 \ \mu m$ 、 $3.3 \sim 4.7 \ \mu m$ 、 $4.7 \sim 5.8 \ \mu m$ 、 $5.8 \sim 9.0 \ \mu m$ 、 $>9.0 \ \mu m$),细粒子(视为 $PM_{2.1}$,粒径段 $<0.43 \ \mu m$ 、 $0.43 \sim 0.65 \ \mu m$ 、 $0.65 \sim 1.1 \ \mu m$ 、 $1.1 \sim 2.1 \ \mu m$),各粒径段滤膜叠加一起,剪成细条状于锥形瓶中,用适量的二氯甲烷超声抽提 3 次,每次抽提 $20 \ min$,每次更换溶剂,

合并提取液并过滤,滤液在旋转蒸发仪上减压浓缩至即将干.将浓缩液滴加在填装适量硅胶(10 cm)和氧化铝(10 cm)的层析柱中,依次用 70 mL 正己烷、70 mL 正己烷/二氯甲烷(1:1,体积比)和40 mL甲醇洗脱,分别得到正构烷烃、多环芳烃和极性组分,将正构烷烃部分洗脱液旋转蒸发浓缩,加入六甲

基苯作为内标物,用氮吹仪缓缓吹至约1 mL,最后定容至1 mL,利用 GC-MS 进行分析检测.通过 GC-MS 的各项控制参数,使样品的分离和检测达到最佳效果,仪器的分析条件见表2.目标化合物通过与标准物质比对保留时间及质谱图定性分析,内标法定量分析.

表 2 GC-MS 主要仪器控制参数

Table 2 Operating parameters for GC-MS

GC 参数	设定值	MS 参数	设定值
载气	高纯氦气(≥99.999%)	电离方式	EI
色谱柱	HP-5MS(J&W) 30 m \times 0. 25 mm \times 0. 5 μ m	电子能量	70 eV
进样方式	手动进样	离子源温度	230℃
进样量	1 μL, 无分流	四极杆温度	150℃
进样口温度	250℃	扫描方式	全扫描
溶剂延迟时间	6. 0 min	扫描质量范围	50 ~ 550 u
柱流量	1.0 mL·min ⁻¹ 恒流模式	扫描频率	2.96 Scans • s - 1
升温程序	50℃恒温 5 min,以 15℃·min ⁻¹ 升至 160℃, 保持 5 min.以 5℃·min ⁻¹ 升至 300℃,恒温 15 min	倍增器电压 离子化电流	1 100 V 300 μA

1.4 质量保证与质量控制

试剂空白、实验室空白、野外空白和回收率实验,结果表明实验符合空白质量保证和质量控制要求,各类碳数烷烃标准曲线线性良好, R^2 均大于0.955,回收率为72%~115%.采样所用的玻璃纤维滤膜,采样前在马弗炉中450℃焙烧4h,尽可能地消除因滤膜中含有有机物而引起自身本底值过高的误差.

2 结果与分析

2.1 颗粒物粒径分布

由于所用采样器没有 2.5 μm 的切割直径,因此将 2.1 μm 作为粗细粒子的分割点.在 2010 年 9 月~2011 年 8 月的采样期间,4 个季节中,秋、冬、春、夏细粒子的平均浓度分别为 161.3、291.2、56.8、63.9 μg·m⁻³,粗粒子的平均浓度分别为 159.8、287.3、133.7、109.6 μg·m⁻³.冬季细粒子的质量浓度明显地高于其他 3 个季节,是全年平均值的 2.11 倍.在冬季,粗粒子也表现出很高的浓度值,这可能与冬季中大风卷起的沙尘有密切关系,加上冬季气温低,降水少,颗粒物不易去除,故表现出较高的浓度值.4 个季节中,细粒子与粗粒子的浓度比值范围为 0.42~1.01,秋、冬、春、夏这 4 个季节分别为 1.01、1.02、0.42、0.58,在秋冬两季排放量均等,而春夏两季中,随着天气温度的回升,来自于化石燃料燃烧带来的细粒子排放有明显的降低.

4个季节颗粒物的粒径分布呈相似的双峰型结

构,如图 2 所示. 细粒子中粒径段 0.65~1.1 μm 有最大值,占整个粒径的 6.4%~14.9%,可见,在研究城市的颗粒物污染时,对粒径较小的细粒子的研究很有必要;粗粒子中粒径段 4.7~5.8 μm 呈现最大值,占整个粒径段的 21.2%~26.8%.有资料显示^[1],粒径分布规律能较好地反映出颗粒物的来源特征,粒径<2.5 μm 的粒子主要来源于燃烧过程所产生的蒸汽冷凝、凝结,以及由大气化学反应所产生的各种气体分子转化成的二次颗粒物等;而粒径>2.5 μm 的粒子则主要来源于机械过程所造成的扬尘和风砂等一次粒子.

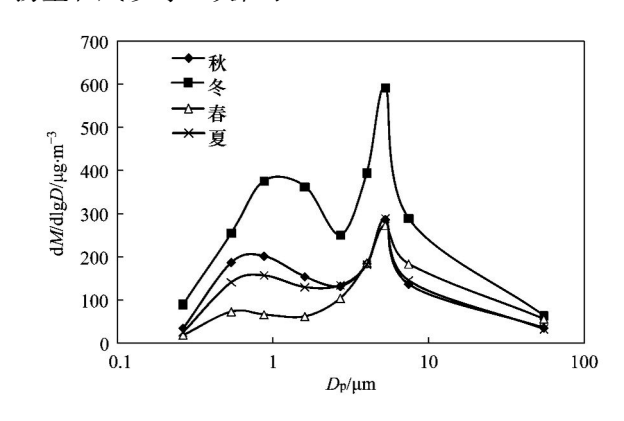


图 2 颗粒物粒径分布示意

Fig. 2 Size distribution of particulate matter

2.2 粗、细粒子中正构烷烃的季节变化

正构烷烃的浓度也呈现出较强的季节变化,如图 3 所示. 在 4 个季节中,秋、冬、春、夏的平均总浓度情况分别为 230.4、496.2、150.1、180.1

ng·m⁻³,冬季>秋季>春季>夏季,平均值为264.2 ng·m⁻³; 9~11 月为秋季, 高等植物叶子的角质蜡 层相互摩擦及植物残体腐烂后的排放,导致秋季的 烷烃排放量增大,另外,每年秋季,华北地区农作物 秸秆、树叶、枯草等生物质燃烧普遍[32~36],也是秋 季烷烃的排放量较大的原因之一: 进入冬季(12月 ~次年2月)后,天气温度开始逐渐下降,供暖燃煤 使用量的却日渐增多,导致冬季烷烃的浓度值居高 不下,在2月,其值达到最大值1725.1 ng·m⁻³,此 外,在冬季有诸多不利的大气环境因素,如低温,冬 季平均温度 - 2.41℃(见表 1),低混合层高度等都 对污染物的扩散起着阻碍作用; 进入3月中旬后, 北方各地都陆续停止供暖,燃煤的需求也逐渐下降, 所以春季(3~5月)的浓度值较冬季值有非常大的 下降;而到了夏季(6~8月),由于草木的繁盛茂 密,高等植物排放的正构烷烃应大有增长,可夏季的 雨量充沛,降水量也是全年最大的,夏季平均降雨量 3.47 mm(见表1),明显高于其他3个季节,故雨水 的清除作用也表现得最为明显.

有机物是大气气溶胶的主要组分,占气溶胶总质量的10%~50%^[37]. 我国城市大气细粒子中有机物含量很高,呈现出颗粒有机物污染严重的特点^[38]. 正构烷烃在细粒子中的含量约占 24%~35%^[39],而保定市正构烷烃浓度值在颗粒物中的比重均低于上述研究数据,在粗粒子约占 5.2%~11.3%,在细粒子中约占 4.9%~13.2%,表明保定市大气颗粒物中的其他污染物占有更大的比重.

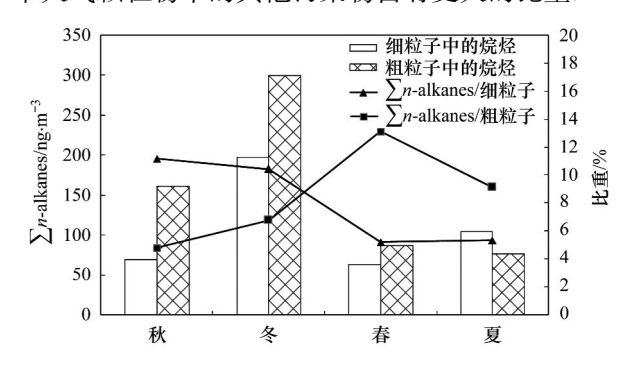


图 3 4 个季节中 PM >2.1 和 PM2.1 中正构烷烃含量及其比重

Fig. 3 Seasonal variation of $\sum n$ -alkanes mass concentration in PM $_{>2.1}$ and PM $_{2.1}$

2.3 正构烷烃各碳数的季节变化

在不同的采样季节里,正构烷烃的碳数分布呈现不同的分布类型(见图4).最为明显的便是冬季的前峰型,C16~C21之间的烷烃同系物都有较高浓度,C21的浓度值最大;C25~C32的浓度值相差都

不大,较 C16~C21 的浓度值相比要小很多; 夏季星后峰型分布,而且各个碳数的烷烃浓度都比其他 3 个季节的低,夏季时分,正构烷烃主要来源于植物蜡的挥发,保定的夏季东南风季风盛行,风力较大,对污染物的扩散大为有利,此峰型分布结果与成玉等^[40]的研究结论相似. 秋季与春季的碳数分布没有明显的峰型变化,各烷烃同系物的浓度值差距也不大,但秋季跟夏季的情况相比,数值略高,说明在秋冬两季,保定的排放源都较稳定单一,而且排放时间与强度都较大,其浓度稍高的集中在 C16~C22 之间,对于碳数>26 的正构烷烃,C26 和 C27 的浓度稍高些,但并没有出现明显的奇偶效应,与其他地区的研究结果有不一致的地方^[41,42],表明保定地区可能有其他因素的影响.

化石燃料燃烧排放的烷烃多呈短中链,即以 < C24为主,而 > C24 的烷烃则主要来自于植物蜡的排放^[43,44]. 以峰型较为明显的冬夏两季为例. 在冬季的时候, < C24 的烷烃同系物浓度总值和 > C24烷烃同系物浓度总值的数值分别为1 837.6 ng·m⁻³和444.1 ng·m⁻³,两者比值为4.14. 而在夏季,两者的数值分别为 330.3 ng·m⁻³和554.4 ng·m⁻³,比值为 0.59. 烷烃同系物不同季节的比值不同,明显表现出季节排放的差异.

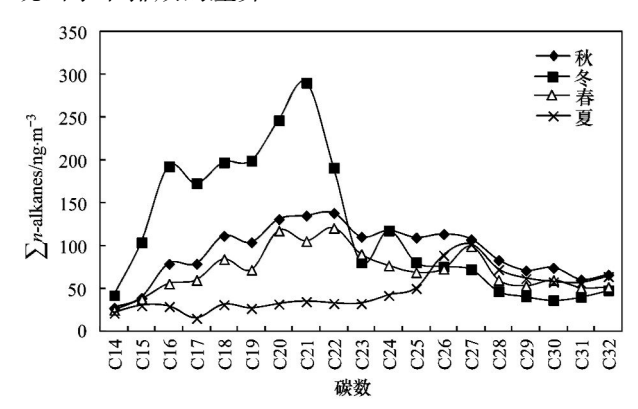


图 4 采样点正构烷烃浓度的季节变化和碳数分布

Fig. 4 Seasonal variations of mass concentration and carbon number contribution

2.4 正构烷烃的来源分析

常用于鉴别和评价正构烷烃来源的参数有:最大浓度碳数(C_{max})、碳优势指数(CPI)、低分子量与高分子量烷烃比值(LMW/HMW)、植物蜡($WaxC_n$)[45].

Simoneit 等^[45]最初将 CPI 做为污染物的人为来源和天然来源的参考指标,公式定义为:

$$CPI = \sum C_{\hat{\sigma} \hat{y}} / \sum C_{\text{d}\hat{y}}$$

式中, $\sum C_{\text{fb}}$ 为碳数为奇数的正构烷烃含量总和; $\sum C_{\text{fl}}$ 为碳数为偶数的正构烷烃含量总和. CPI 值用于气溶胶中正构烷烃分布特征和来源方面的研究, Simoneit 等[45]曾对城市与郊区大气飘尘中正构烷烃进行了研究,认为 CPI \approx 1 时,大气飘尘中的污染物主要来自于化石燃料或生物质(如木材、农产品残渣)的不完全燃烧等人为来源; 1 < CPI < 3 时,则污染物主要来源于高等植物、细菌等现代生物和化石燃料的双重来源,气溶胶颗粒中正构烷烃的CPI 值越大,说明来自植物排放的正构烷烃的比例越高.

在保定市采样期间,粗粒子在秋、冬、春、夏4个季节的 CPI 值分别为 0.84、0.83、0.99、1.67,平均值为 1.08;细粒子在秋、冬、春、夏4个季节的 CPI 值分别为 1.06,0.88,0.93,0.96 平均值为 0.96.表明无论是粗粒子样品还是细粒子,4个季节的石油、煤等化石燃料的燃烧等人为的输入是大气中正构烷烃的主要来源,尤其是在冬季采暖期,工业用煤和居民取暖用煤的使用量都很大,高等植物因气温较低等原因排放量的减少,都使得人为源成为烷烃污染的主要来源.

为进一步区分天然源和人为源对正构烷烃的贡 献, Simoneit 等[46] 认为植物来源的正构烷烃 (>C24)的贡献率,可以通过以下公式计算: $\% \text{WaxC}_n = 100[C_n - 0.5(C_{n-1} + C_{n+1})] / \sum_{n=1}^{\infty} C_n^{[46]},$ 式中,n 表示碳数; $[C_n]$ 表示碳数为 n 的正构烷烃 的含量: WaxC。代表植物来源的正构烷烃含量. 结 果显示,粗粒子样品中%WaxC,值夏、秋、春、冬季 分别为51.24%、37.26%、22.41%、20.16%,平均 值为 32.77%;细粒子样品中% WaxC,值夏、秋、 春、冬季分别为 39.88%、32.39%、19.23%、 15.52%, 平均值为 26.76%. 可知, 在 4 个季节中, 生物源的贡献可达到 19.23%~51.24%,尤其是夏 季,生物源的贡献最高可达到51.24%.夏季高等植 物生长茂盛,天然排放的正构烷烃量异常明显.同 时,随着季节的变化,%WaxC。值也发生一定的波 动,这表明正构烷烃的主要来源在天然源和人为源 之间发生着主次变化.

3 结论

(1)于 2010年9月~2011年8月采样期间,河 北工业城市保定大气中可吸入颗粒物和细粒子质量 浓度年均值分别为172.6 μ g·m⁻³、143.3 μ g·m⁻³; 粗粒子和细粒子浓度季节变化形式为冬 > 秋 > 春 > 夏,浓度范围分别为 657.6 ~ 1724.3 $\mu g \cdot m^{-3}$ 和 340.9~1747.3 $\mu g \cdot m^{-3}$. 保定市大气中粗、细粒子污染均十分严重.

- (2)有机物中的正构烷烃在粗粒子中含量5.2% ~ 11.3%,在细粒子中的含量4.9% ~ 13.2%;正构烷烃在4个季节中的浓度值,呈现冬>秋>春>夏的特征.最大浓度碳数(C_{max}),碳优势指数(CPI),低分子量与高分子量烷烃比值(LMW/HMW)和WaxC_n的结果均表示,保定大气中正构烷烃的源排放随季节的变化而变化. 秋冬季节的排放主要源自供暖需求和工业用途的化石燃料的燃烧,大量生物质的燃烧等;春夏季节主要来自高等植物蜡的排放,但由于污染物的排放强度减弱,而且在夏季雨量充沛,易于污染物的去除,空气质量表现良好.
- (3)鉴于保定市大气中粗、细粒子污染均十分严重的现状,不能仅关注细粒子及其气态前体物的控制,必须同时控制粗粒子排放,尤其是燃煤、柴油车排放和道路扬尘等来源的调控.

参考文献:

- [1] 胡敏,何凌燕,黄晓锋.北京大气细粒子和超细粒子理化特征、来源及形成机制[M].北京;科学出版社,2009.1-10.
- [2] 唐孝炎, 张远航, 邵敏. 大气环境化学[M]. (第二版). 北京: 高等教育出版社, 2006. 268-305.
- [3] Finlayson-Pitts B J, Pitts J N Jr. Tropospheric air pollution: ozone, airborne toxics, polycyclic aromatic hydrocarbons, and particles [J]. Science, 1997, 276 (5315): 1045-1052.
- [4] Chan C K, Yao X H. Air pollution in mega cities in China[J].

 Atmospheric Environment, 2008, 42(1): 1-42.
- [5] Lewtas J. Human exposure to complex-mixtures of air-pollutants
 [J]. Toxicology Letters, 1994, 72(1-3): 163-169.
- [6] Atkinson R, Arey J. Atmospheric chemistry of gas-phase polycyclic aromatic-hydrocarbons-formation of atmospheric mutagens [J]. Environmental Health Perspectives, 1994, 102 (Suppl. 4): 117-126.
- [7] Ketseridis G, Hahn J, Jaenicke R, et al. The organic constituents of atmospheric particulate matter [J]. Atmospheric Environment, 1976, 10(8): 603-610.
- [8] Broddin G, Cautreels W, Van Cauwenberghe K. On the aliphatic and poly aromatic hydrocarbon levels in urban and back ground aerosols from Belgium and the Netherlands [J]. Atmospheric Environment, 1980, 14(6): 895-910.
- [9] Jaffrezo J L, Clain M P, Masclet P. Polycyclic aromatic hydrocarbons in the polar ice of greenland. Geochemical use of these atmospheric traces[J]. Atmospheric Environment, 1994, 28(6): 1139-1145.
- [10] 陈宗良, 竺迈恺, 徐振全, 等. 大气颗粒物溶剂萃取物及其

- 日变化和致突变的初步研究[J]. 环境化学, 1982, $\mathbf{1}(4)$: 267-273.
- [11] 陈宗良,张孟威,徐振全,等. 北京大气颗粒有机物的污染水平及其源的识别[J]. 环境科学学报,1982,5(1):38-45
- [12] Huang X F, He L Y, Hu M, et al. Annual variation of particulate organic compounds in PM_{2.5} in the urban atmosphere of Beijing [J]. Atmospheric Environment, 2006, 40 (14): 2449-2458.
- [13] 堀口博,刘文宗,张凤臣,等译. 公害与毒物、危险物(有机篇)[M]. 北京:石油化学工业出版社,1978. 11-17.
- [14] Gelencsér A, Barcza T, Kiss G, et al. Distribution of n-alkanes and PAHs in atmospheric aerosols [J]. Atmospheric Research, 1998, 46(3-4): 223-231.
- [15] Duan F K, He K B, Liu X D. Characteristics and source identification of fine particulate n-alkanes in Beijing, China[J]. Journal of Environmental Sciences, 2010, 22(7): 998-1005.
- [16] Li W F, Peng Y, Bai Z P. Distributions and sources of n-alkanes in PM_{2.5} at urban, industrial and coastal sites in Tianjin, China [J]. Journal of Environmental Sciences, 2010, 22(10): 1551-1557.
- [17] Guo Z G, Lin T, Zhang G, et al. Occurrence and sources of polycyclic aromatic hydrocarbons and n-alkanes in PM_{2.5} in the roadside environment of a major city in China [J]. Journal of Hazardous Materials, 2009, 170(2-3); 888-894.
- [18] Pietrogrande M C, Mercuriali M, Perrone M G, et al. Distribution of n-Alkanes in the Northern Italy aerosols: data handling of GC-MS signals for homologous series characterization [J]. Environmental science and Technology, 2010, 44 (11): 4232-4240.
- [19] 姚利,李杏茹,郭雪清,等. 2007 年春节期间北京大气细粒子中正构烷烃的污染特征[J]. 环境科学,2009,30(2):589-593
- [20] 张云, 张成君. 兰州市大气降尘中正构烷烃的分布特征及源解析[J]. 环境监测管理与技术, 2010, **22**(4): 23-26.
- [21] Simoneit B R T. Organic-matter in eolian dusts over the Atlantic Ocean [J]. Marine Chemistry, 1977, 5(4-6): 443-464.
- [22] 周家斌,王铁冠,黄云碧,等. 北京地区大气颗粒物中正构 烷烃的粒径分布及污染源示踪研究[J]. 石油大学学报(自 然科学版),2004,28(5);121-125,130.
- [23] 周立. 二步浓缩进样-GC/MS 法分析和研究大气痕量有机污染物——以北京为例[D]. 北京:中国科学院大气物理研究 所,2000. 39-42.
- [24] 郭方琴,张成君,张云,等. 兰州市大气沉降尘中正构烷烃分布及环境意义[J]. 环境科学与技术,2009,32(2);9-11.
- [25] 张睿, 蔡旭辉, 宋宇. 北京地区大气污染物时空分布及累积 效应分析[J]. 北京大学学报(自然科学版), 2004, **40**(6): 930-938.
- [26] 吴水平,左谦,陶澍,等. 京津地区不同粒径大气颗粒物中的有机污染物[J]. 农业环境科学学报,2004,23(3):578-583.
- [27] Bi X H, Sheng G Y, Peng P A, et al. Size distribution of n-alkanes and polycyclic aromatic hydrocarbons (PAHs) in urban

- and rural atmospheres of Guangzhou, China [J]. Atmospheric Environment, 2005, 39(3); 477-487.
- [28] 牛红云,赵欣,戴朝霞,等. 南京市大气气溶胶中颗粒物和正构烷烃特征及来源分析[J]. 环境污染与防治,2005,27(5):363-367.
- [29] Zheng M, Wan T S M, Fang M, et al. Characterization of the non-volatile organic compounds in the aerosols of Hong Kongidentification, abundance and origin [J]. Atmospheric Environment, 1997, 31(2): 227-237.
- [30] Guo Z G, Sheng L F, Feng J L, et al. Seasonal variation of solvent extractable organic compounds in the aerosols in Qingdao, China[J]. Atmospheric Environment, 2003, 37 (13): 1825-1834.
- [31] 齐学先,保定市大气环境质量评价及砷污染特征分析[D]. 保定:河北大学,2009.9-13.
- [32] Duan F K, Liu X D, Yu T, et al. Identification and estimate of biomass burning contribution to the urban aerosol organic carbon concentrations in Beijing[J]. Atmospheric Environment, 2004, 38(9): 1275-1282.
- [33] Song Y, Tang X Y, Xie S D, et al. Source apportionment of PM_{2.5} in Beijing in 2004 [J]. Journal of Hazardous Materials, 2007, 146(1-2): 124-130.
- [34] Rogge W F, Hlldemann L M, Mazurek M A, et al. Sources of fine organic aerosol. 4. Particulate abrasion products from leaf surfaces of urban plants [J]. Environmental Science and Technology, 1993, 27(13); 2700-2711.
- [35] Zheng M, Salmon L G, Schauer J J, et al. Seasonal trends in PM_{2.5} source contributions in Beijing, China [J]. Atmospheric Environment, 2005, 39(22); 3967-3976.
- [36] Zheng X Y, Liu X D, Zhao F H, et al. Seasonal characteristics of biomass burning contribution to Beijing aerosol[J]. Science in China Series B (Chemistry), 2005, 48(5): 481-488.
- [37] Seinfeld J H, Pandis S N. Atmospheric chemistry and physicsfrom air pollution to climate change [M]. New York; John Wiley and Sons, 1998. 112-115.
- [38] He K B, Yang F M, Ma Y L, et al. The characteristics of PM_{2.5} in Beijing, China [J]. Atmospheric Environment, 2001, **35** (29); 4959-4970.
- [39] Li L, Wang W, Feng J L, et al. Composition, source, mass closure of PM_{2.5} aerosols for four forests in eastern China [J]. Journal of Environmental Sciences, 2010, 22(3): 405-412.
- [40] 成玉,盛国英,闵育顺,等.珠江三角洲气溶胶中正构烷烃 分布规律、来源及其时空变化[J].环境科学学报,1999,**19** (1):96-100.
- [41] Young L, Wang C. Characterization of n-alkanes in PM_{2.5} of the Taipei aerosol [J]. Atmospheric Environment, 2002, 36 (3): 477-482.
- [42] Kalaitzoglou M, Terzi E, Samara C. Patterns and sources of particle-phase aliphatic and polycyclic aromatic hydrocarbons in urban and rural sites of western Greece [J]. Atmospheric Environment, 2004, 38(16): 2545-2560.
- [43] Simoneit B R T. Organic matter of the troposphere-V.

- Application of molecular marker analysis to biogenic emissions into the troposphere for source reconciliations [J]. Journal of Atmospheric Chemistry, 1989, 8(3): 251-275.
- [44] Sicre M A, Peltzer E T. Lipid geochemistry of remote aerosols from the southwestern pacific Ocean sector [J]. Atmospheric Environment, 2004, 38(11): 1615-1624.
- [45] Simoneit B R T, Sheng G Y, Chen X J, et al. Molecular marker
- study of extractable organic matter in aerosols from urban areas of China[J]. Atmospheric Environment Part A. General Topics, 1991, 25(10); 2111-2129.
- [46] Simoneit B R T, Mazurek M A. Organic matter of the troposphere-II. Nature background of biogenic lipid matter in aerosols over the rural western United States [J]. Atmospheric Environment, 1982, 16(9): 2139-2159.

欢迎订阅 2013 年《环境科学》

《环境科学》创刊于1976年,由中国科学院主管,中国科学院生态环境研究中心主办,是我国环境科学学科中最早创刊的学术性期刊.

《环境科学》自创刊以来,始终坚持"防治污染,改善生态,促进发展,造福人民"的宗旨,报道我国环境科学领域内具有创新性高水平,有重要意义的基础研究和应用研究成果,以及反映控制污染,清洁生产和生态环境建设等可持续发展的战略思想、理论和实用技术等.

《环境科学》在国内外公开发行,并在国内外科技界有较大影响,被国内外一些重要检索系统收录,如美国医学索引 MEDLINE;美国化学文摘 CA;俄罗斯文摘杂志 AJ;美国生物学文摘预评 BP;美国医学索引 IM;日本科学技术情报中心数据库 JICST;英国动物学记录 ZR;剑桥科学文摘(CSA):Environmental Sciences;剑桥科学文摘(CSA):Pollution Abstracts;剑桥科学文摘(CAS):Life Sciences Abstracts等;国内的检索系统有中国科技论文统计与引文数据库(CSTPCD);中文科技期刊数据库(维普);中国期刊全文数据库(CNKI);数字化期刊全文数据库(万方);中国科学引文数据库(CSCD);中国生物学文摘等.

全国各地邮局均可订阅,如有漏订的读者可直接与编辑部联系,办理补订手续.

《环境科学》2013 年为大 16 开本,90 元/册,全年 12 期.

国内统一刊号: CN11-1895/X 国际标准刊号: ISSN 0250-3301

国外发行代号: M 205 国内邮发代号: 2-821

编辑部地址:北京市海淀区双清路 18 号(2871 信箱) 邮编:100085

电话:010-62941102;传真:010-62849343; E-mail:hjkx@rcees. ac. cn; 网址:www. hjkx. ac. cn

HUANJING KEXUE

Environmental Science (monthly)

Vol. 34 No. 2 Feb. 15, 2013

CONTENTS

Characterization of Chemical Compositions in PM _{2.5} and Its Impact on Hazy Weather During 16 th Asian Games in Guangzhou ···	TAO Jun, CHAI Fa-he, GAO Jian, et al.	. (409)
PM _{2.5} Pollution and Aerosol Optical Properties in Fog and Haze Days During Autumn and Winter in Beijing Area		
Forming Potential of Secondary Organic Aerosols and Sources Apportionment of VOCs in Autumn of Shanghai, China		
Study on Number Concentration Distribution of Atmospheric Ultrafine Particles in Hangzhou		
Pollution Characteristics and Source Identification of Atmospheric Particulate Matters n-Alkanes in Baoding City		
Study on Pollution Characteristics of Carbonaceous Aerosols in Xi'an City During the Spring Festival	······ ZHOU Bian-hong, ZHANG Cheng-zhong, WANG Ge-hui	i (448)
Characteristics of PM ₁₀ and PM _{2.5} Concentrations in Mountain Background Region of East China		
Assessment of TVOC and Odor in the Remediation Site of Contaminated Soil and Groundwater Using Electronic Nose		
Characteristics of Mercury Exchange Flux Between Soil and Atmosphere Under the Snow Retention and Snow Melting Control · · · ·		
Study on Heavy Metal Contaminations and the Sources of Pb Pollution in Jinghai Bay Using the Stable Isotope Technique		
Eco-environmental Evolution Inferred from n -Alkanes and $\delta^{12}C$ Records in the Sediments of Shijiu Lake		
Distribution of PGEs Contents and Its Factors in Snowfall and Snow Cover over the Arid Region in Changji City	LIU Yu-yan, LIU Hao-feng, ZHANG Lan	(494)
Effect of Dust Deposition Collection Methods on Collection Efficiency	····· ZHANG Zheng-cai, DONG Zhi-bao	(499)
Regionalization of the Freshwater Eco-regions in the Haihe River Basin of China		. (509)
Characteristics of Diffuse Attenuation Coefficient of Underwater Irradiance in the Lakes in the Middle and Lower Reaches of Yang	gtze River	
Study on Influencing Factors and Universality of Chlorophyll-a Retrieval Model in Inland Water Body		. (525)
Effect of Dissolved Oxygen on Diversity of Ammonia-Oxidizing Microorganisms in Enrichment Culture from Estuarine Wetland Sur	rface Sediments and Ammonia-oxidizing Rate	, ,
	······ QIU Zhao-zheng, LUO Zhuan-xi, ZHAO Yan-ling, et al.	. (532)
Spatial Variation of Soil Moisture/Salinity and the Relationship with Vegetation Under Natural Conditions in Yancheng Coastal W	etland	(510)
Spatial Heterogeneity and Classified Control of Agricultural Non-Point Source Pollution in Huaihe River Basin		
Phosphorus Output Characteristics Under Different Rainfall-Runoffs in Gaolan River	CUI Yu-jie, LIU De-tu, SONG Lin-xu, et al.	. (555)
Monitoring and Analysis on Evolution Process of Rainfall Runoff Water Quality in Urban Area		
Characteristics and Contribution of the Strengthening Units of Composite Constructed Wetland for Treating Urban Sewage		
Inactivation of Mycobacteria mucogenicum in Drinking Water: Chlorine Resistance and Mechanism Analysis		
Partial Biological Characteristics and Algicidal Activity of an Algicidal Bacterium		
Effects of Macrophytes Pyrolysis Bio-oil on Skeletonema costatum Antioxidant Enzyme Activities		
Mechanism and Kinetics of Phenol Degradation by TiO ₂ Photocatalytic Combined Technologies	ZHANG YI, HUANG Kuo-nan, WANG Xiao-min, et al.	. (396)
Biodegradation Characteristics of Organic Pollutants Contained in Tannery Wastewater Microbial Degradation Mechanism of Disperse Azo Dye Red 30 by Streptomyces sp. FX645		
Study on Preparation and Performance of a Biological Carrier with Tourmaline Study on the Chlorella pyrenoidosa Cultivation Technology Based on the Excess Sludge Utilization		
Effects of Mild Thermal Pretreatment on Anaerobic Digestibility of Sludge with Low Organic Content		
Effect of Natural and Hydrothermal Synthetic Goethite on the Release of Methane in the Anaerobic Decomposition Process of Organic		. (029)
Enect of Natural and Hydrothermal synthetic Goetime on the Release of Methane in the Anaeronic Decomposition Frocess of Organical Natural and Hydrothermal Synthetic Goetime on the Release of Methane in the Anaeronic Decomposition Frocess of Organical Natural and Hydrothermal Synthetic Goetime on the Release of Methane in the Anaeronic Decomposition Frocess of Organical Natural Natural and Hydrothermal Synthetic Goetime on the Release of Methane in the Anaeronic Decomposition Frocess of Organical Natural Natura Natura Natura Natura Natur	WANG line at al.	(635)
Concentrations and Distribution Characteristics of PCDD/Fs in Spent Etching Solution and Its Copper Salt Recycling Products		
Case Study on Health Risk Assessment Based on Site-Specific Conceptual Model		
Study on the Risk Assessment Method of Regional Groundwater Pollution	VANC Van VII Vun-iiang WANG Zong-ging et al.	(653)
Groundwater Organic Pollution Source Identification Technology System Research and Application	WANG Yiao-hong WEI Jia-hua CHENG Thi-neng et al.	(662)
Study on Soil Organic Carbon Pools and Turnover Characteristics Along an Elevation Gradient in Qilian Mountain		
Response of Black Soil Organic Carbon, Nitrogen and Its Availability to Long-term Fertilization	LIJO Kun HIJ Rong-gui ZHANG Wen-iu et al.	(676)
Phytoavailability and Chemical Speciation of Cadmium in Different Cd-Contaminated Soils with Crop Root Return		
Study on Mechanism of SOM Stabilization of Paddy Soils Under Long-term Fertilizations		
Aging Process of Cr(III) in 22 Typical Soils of China and Influence Factors Analysis		
Residual Characteristics of HCHs in Soils of a Former Lindane Production Enterprise		
Evaluation and Source Analysis of the Mercury Pollution in Soils and Vegetables Around a Large-scale Zinc Smelting Plant		
Residue of Organic Fluorine Pollutants in Hair and Nails Collected from Tianjin		
Analysis of Estrogens, Nonylphenol, 4-tert-Octylphenol and Bisphenol A in the Sediments		
Investigation of As, Cu and Zn Species and Concentrations in Animal Feeds	····· YAO Li-xian, HUANG Lian-xi, JIANG Zong-vong, et al.	. (732)
Residue Dynamics of Flubendiamide in Paddy Field		
Isolation of Two Endophytic Phenanthrene-Degrading Strains and Their Degradation Capacity		
Biodegradation of Nitrobenzene by a Halophilic Myroides odoratimimus Strain Y6	LI Tian, OIAN Kun, XIAO Wei. et al.	. (753)
Effect of Immobilization on Biosensor for Benzene Derivates Detection		
Investigation of Bacterial Diversity in the Biological Desulfurization Reactor for Treating High Salinity Wastewater by the 16S rDN	NA Cloning Method ·····	
8 - 8 - 9 - 9 - 9 - 9 - 9 - 9 - 9 - 9 -	LIU Wei-guo, LIANG Cun-zhen, YANG Jin-sheng. et al.	. (767)
Assessment of the Effect of Influent NH ₄ +N Concentration on the Abundance and Community Structure of Functional Bacteria in	CANON Process	
4	LIU Tao, LI Dong, ZENG Hui-ping, et al.	. (773)
Biodegradation of Lignocellulose by Penicillium simplicissimum and Characters of Lignocellulolytic Enzymes		
Microbial Community Structure and Distribution Characteristics in Oil Contaminated Soil		
Degradation of Oxytetracycline in Chicken Feces Aerobic-Composting and Its Effects on Their Related Parameters	0.1 0.	
	with our zhen, Er zhao jan, zhitho cha qing, er ar.	
Research of Moisture Content Variation in MSW Landfill		

《环境科学》第6届编辑委员会

主 编:欧阳自远

副主编:赵景柱 郝吉明 田 刚

编 委:(按姓氏笔画排序)

万国江 王华聪 王凯军 王绪绪 田 刚 田 静 史培军

朱永官 刘志培 汤鸿霄 陈吉宁 孟 伟 周宗灿 林金明

欧阳自远 赵景柱 姜 林 郝郑平 郝吉明 聂永丰 黄 霞

黄耀 鲍强潘纲潘涛魏复盛

环轮种草

(HUANJING KEXUE)

(月刊 1976年8月创刊) 2013年2月15日 34卷 第2期

ENVIRONMENTAL SCIENCE

(Monthly Started in 1976)

Vol. 34 No. 2 Feb. 15, 2013

主	管	中国科学院	Superintended	by	Chinese Academy of Sciences
主	办	中国科学院生态环境研究中心	Sponsored	by	Research Center for Eco-Environmental Sciences, Chinese
协	办	(以参加先后为序)			Academy of Sciences
		北京市环境保护科学研究院	Co-Sponsored	by	Beijing Municipal Research Institute of Environmental
		清华大学环境学院			Protection
主	编	欧阳自远			School of Environment, Tsinghua University
编	辑	《环境科学》编辑委员会	Editor-in -Chief		OUYANG Zi-yuan
2 111 1	14	北京市 2871 信箱(海淀区双清路	Edited	by	The Editorial Board of Environmental Science (HUANJING
		18 号,邮政编码:100085)			KEXUE)
		电话:010-62941102,010-62849343			P. O. Box 2871, Beijing 100085, China
		传真:010-62849343			Tel:010-62941102,010-62849343; Fax:010-62849343
		E-mail: hikx@ rcees. ac. cn			E-mail; hjkx@ rcees. ac. cn
		http://www.hjkx.ac.cn			http://www.hjkx.ac.cn
出	版	4 望 出 版 社	Published	by	Science Press
щ	///	北京东黄城根北街 16 号			16 Donghuangchenggen North Street,
		邮政编码:100717			Beijing 100717, China
印刷装	ŧΪ	北京北林印刷厂	Printed	by	Beijing Bei Lin Printing House
发	行	斜学出版社	Distributed	by	Science Press
		电话:010-64017032			Tel:010-64017032
		E-mail:journal@mail.sciencep.com			E-mail:journal@mail.sciencep.com
订 购	处	全国各地邮电局	Domestic		All Local Post Offices in China
国外总统	发行	中国国际图书贸易总公司	Foreign		China International Book Trading Corporation (Guoji
		(北京 399 信箱)			Shudian), P. O. Box 399, Beijing 100044, China

中国标准刊号: $\frac{ISSN}{CN}$ 0250-3301 $\frac{11-1895/X}{11}$

国内邮发代号: 2-821

国内定价:90.00元

国外发行代号: M 205

国内外公开发行